

## II-128 移流型物質輸送の数値計算法について

佐賀大学理工学部 正員 ○大串 浩一郎  
 九州大学工学部 正員 小松 利光  
 電力中央研究所 正員 仲敷 審和  
 九州大学大学院 学生員 宇都宮 道明

## 1. まえがき

水域において、密度差を持たない物質の輸送問題を取り扱う際には、移流と拡散という2つの物理現象を含む偏微分方程式を解かねばならない。移流と拡散を1 time step毎に別個に取り扱うsplit-operator approachは、各processに対して最適な計算法を選択できるという利点を持っています。有効な計算法として注目されている。HollyとPreissmannは、2-point fourth order methodを提案し、移流の計算において飛躍的に改善された結果を得た。しかしながら、従属変数として濃度と濃度勾配を輸送させなくてはならず、2次元では非常に煩雑なものである。小松らは、精度の点でも計算の容易さの点でも、十分にH-P法の短所を補った6-point methodを提案し、2次元問題での有用性を示した。本研究では、6-point methodに基づいて、更に使用する点を減じた4-point methodを開発提案し、4-point methodを1次元問題に対し適用してその妥当性を検討した。

## 2. 特性曲線法による計算について

1次元のpure advectionの式を特性曲線法で表わすと次の様に書き換えられる。

$$\frac{dx}{dt} = U(x, t) \text{ 上で } \frac{dC}{dt} = 0 \quad (1)$$

すなわち、特性曲線上  $\frac{dx}{dt} = U(x, t)$  で、  $C = \text{const.}$  となる。故に、図-1において、時刻  $t_{n+1}$  における  $i$  点での濃度  $C_i^{n+1}$  は次式で与えられる。

$$C_i^{n+1} = C_{\xi}^n \quad (2)$$

ここに、添字  $i$  は計算格子点の場所、 $n$  は時刻を表す指標である。また  $\xi$  は格子点  $(x_i, t_{n+1})$  に到る特性曲線の  $x=t_n$  における  $x$  座標を示している。そこで、既知の  $t=t_{n+1}$  における格子点上の濃度を用いて、いかに  $C_{\xi}^n$  の値を求めるかが、決定的な課題となる。小松らは、既知の6点の濃度を用いて  $C_{\xi}^n$  を精度よく求める方法として、6-point methodを提案した。しかしながら、境界付近の計算では境界外に計算点を2点仮定しなければならず、また2次元問題では、 $n+1$  time step の1点の濃度の値を推定するのに、 $m$  time step の36点もの濃度を用いねばならなかった。

## 3. 4-point methodについて

(i) 図-2に計算格子を示す。まず最初に、既知の4点の値を用いて外側2点の推定値を求める方法を検討する。既知の4点の値を用いて3次曲線を決定する。 $x_{i-2}$  から  $x_i$  間にあり、 $x_{i-2}$  の点から  $x_i$  の距離の点における3次曲線の値を  $C_d$  とし、 $C_{i-2}$ ,  $C_d$  を通過する直線を用いて  $C_{i-3}$  を推定する。ここで、 $0=\alpha$ ,  $\Delta x=\Delta t=1$  の無次元化されたGauss型濃度分布を用いて  $\alpha$  の最適値を決定した。図-3に、推定値  $C_{i-3}$  と真値  $C_{i-3}$  の差を2乗し、Gauss分布全体に渡って加え合わせた誤差  $E_d$  と、 $\alpha$  の関係を示す。  $C_{i-3}$  を推定する時に、 $d=0$  すなわち  $x_{i-2}$  点の勾配を用いるのが最適であることがわかる。また式の対称性より、 $C_{i+2}$  の推定についても同様な結果が得られる。

(ii) 次に輸送方程式より評価された濃度勾配を用い、3次曲線を構成して得られた情報を外側2点を推定する方法について考える。輸送方程式を差分化した式より、濃度勾配は次式で評価される。

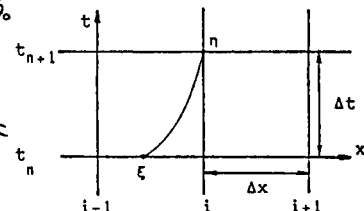


図-1 1次元問題の計算格子  
 $C_{i-3} \quad C_{i-2} \quad C_{i-1} \quad C_i \quad C_{i+1} \quad C_{i+2}$   
 $\cdots - \circ - \circ - \circ - \circ - \cdots$   
 $X_{i-3} \quad X_{i-2} \quad X_{i-1} \quad X_i \quad X_{i+1} \quad X_{i+2}$

図-2 時刻  $t_n$  での計算格子

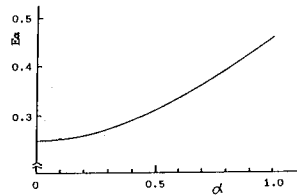


図-3 最適値  $\alpha$  の決定

$$\frac{\partial C}{\partial x} = \frac{1}{U} \left\{ -\frac{C^n - C^{n-1}}{\Delta t} + \text{拡散項の差分表示} \right\} \text{ at } x_{i-2}, x_{i-1}, x_i, x_{i+1} \quad (3)$$

まず  $C_{i-3}$  の推定について考える。 $C_{i-2}, C_{i-1}$  また上式より求めた  $\frac{\partial C}{\partial x}|_{i-2}, \frac{\partial C}{\partial x}|_{i-1}$  より 3 次曲線を求める。次に、 $x_{i-2} \sim x_{i+1}$  間の点で  $x_{i-2}$  より  $\beta$  の距離の位置における 3 次曲線の値  $C_\beta$  と、 $C_{i-2}$  を通する直線を用い、 $C''_{i-3}$  を推定する。前述の Gauss 分布を用いて同様に誤差を求め。さらにクーラン数の変化に対して加え合わせて、total 誤差  $E_{\theta, i-3}$  を求める。また同様に、 $C_{i+2}$  についても誤差  $E_{\theta, i+2}$  を求める。図-4 に  $E_{\theta, i-3} + E_{\theta, i+2}$  と  $\beta$  の関係を示す。 $\beta = 0.075$  の時、誤差が最小となることがわかる。上述の 2 つの方法より求めた推定値の荷重平均から最も精度のよい  $C_{i-3}, C_{i+2}$  を推定する。

$$C''_{i-3} = (1-\theta) C''_{i-3} + \theta C'_{i-3}, \quad C''_{i+2} = (1-\theta) C''_{i+2} + \theta C'_{i+2} \quad (4)$$

前例と同様に Gauss 分布を用い、誤差  $\Theta_{i-3}, \Theta_{i+2}$  を求める。図-5 に  $\Theta_{i-3} + \Theta_{i+2}$  と  $\theta$  の関係を示す。 $\theta = 0.38$  の時、誤差は最小となる。式(4)より求めた  $C_{i-3}, C_{i+2}$  を 6-point method のスキームに代入してやると、最終的合計算式は以下の通りとなる。

但し、 $E = \frac{D}{U \Delta x}, \quad a = \frac{U \Delta t}{2x}, \quad D$  は拡散係数。

$$\begin{aligned} C_i^{n+1} = & C_3^n [ (1.892 b_1 + b_2 - 0.1267 b_6) - 0.4875 b_1 E + 0.5305 b_1 / a ] \\ & + C_4^n [ (-1.273 b_1 + b_3 + 0.5700 b_6) + (0.9750 b_1 + 0.4875 b_6) E - 0.04301 b_1 / a ] \\ & + C_5^n [ (0.5700 b_1 + b_4 - 1.2925 b_6) + (-0.4875 b_1 - 0.9750 b_6) E + 0.04301 b_1 / a ] \\ & + C_{i+1}^n [ (-0.1267 b_1 + 1.8292 b_6) + 0.4875 b_6 E - 0.5305 b_6 / a ] \\ & + C_{i-2}^{n-1} [ -0.5305 b_1 / a ] + C_{i-1}^{n-1} [ 0.04301 b_1 / a ] \\ & + C_i^{n-1} [ -0.04301 b_6 / a ] + C_{i+1}^{n-1} [ 0.5305 b_6 / a ] \end{aligned}$$

但し、 $b_1 \sim b_6$  は  $a$  の三次式で重み  $l, m$  の関数

ここで、内挿式の重み  $l = 7.45, m = -13.03$  は数値実験から決定された値である。  
(iii) 4-point method の 1 次元問題への適用

4-point method を用いて、Gauss 型濃度分布の 1 次元の移流について計算してみる。開水路流れを考え、流速は一定で  $U = 0.5 \text{ m/s}$ 、Gauss 分布の標準偏差  $D = 264 \text{ m}$ 、また  $\Delta x = 200 \text{ m}, \Delta t = 100 \text{ s}$  とする。図-6 に  $t = 1000 \text{ s}$  における計算結果を示す。比較のため、6-point method、風上差分を用いた結果及び厳密解を示す。差分式から得られた結果は numerical diffusion のため damping が著しいが、4-point method では damping は 9.9% であり高い精度が保たれている。しかし、4-point method では負の値が生じその誤差は 94% である。これは 6-point method と比べ若干大きい。また拡散物質の質量は良く保存されており、誤差は 2.2% であった。図-7 に台形濃度分布の移流についての結果を示す。前例同様、4-point method は高い精度を保っていることがわかる。最後に図-8 に Gauss 型濃度分布の移流、拡散についての計算結果を示す。ここで、 $D = 10.89 \text{ m}^2/\text{s}$  である。4-point method は十分な精度を保っていることがわかる。

#### 4. 結論

一次元の移流問題に対して 4-point method は、6-point method に比べ若干の精度の低下は見られるが、6-point method と同程度の計算精度をもたらせるには、計算格子間隔  $\Delta x$  を 0.4 倍に縮少すれば良く、有効な手段であることがわかった。

特に 2、3 次元の問題に対しては計算の容易さの点でより実用的と思われる。

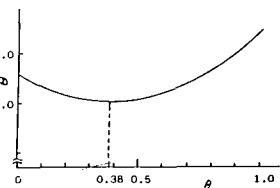
図-4 最適な  $\beta$  の決定

図-5 最適な θ の決定

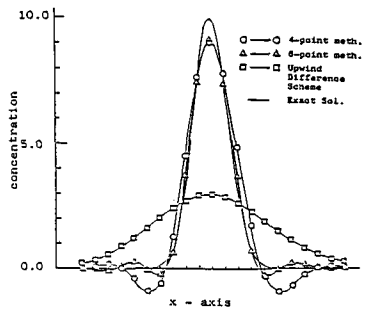


図-6 Gauss 分布の移流計算結果

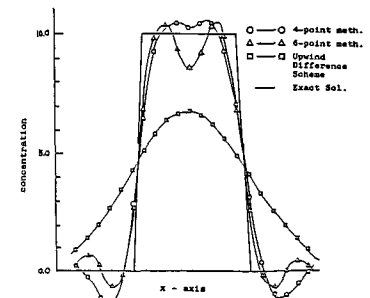


図-7 台形濃度分布の移流計算結果

